

ベイズ理論による構造物の信頼性解析への一考察

京都大学 正員 日石 虎人
 京都大学 学生員 中野 正則

京都大学 正員 古田 均
 京都大学 渡藤 勝彦

[1] まえがき 構造物の安全性を評価する場合統計的不確定性あるいはその他の不確定性を考慮できるとしてベイズ理論がある。そこでは母数をも確率変数と考えられ、標本からの情報に工学的判断を加味して、母数を合理的かつ組織的に推定しようとしている。本研究では、ベイズ理論を用いた信頼性解析について検討を加える。また拡張信頼性とは、ベイズの方法との比較検討を行ない、その考え方が従来どのようなに使われているかを明確にする。つぎに保証強度試験に注目して、保証試験や他の試験から得られる情報の信頼性推定への影響を調べる。さらに、費用に注目し、最適な標本数に対する一つの示唆を与える。

[2] ベイズ理論と拡張信頼性理論との関連 ベイズ確率を用いた母数 x の推定は、

$$f''(x) = k \cdot L(x | \text{sample}) f'(x) \quad \text{--- (1)}$$

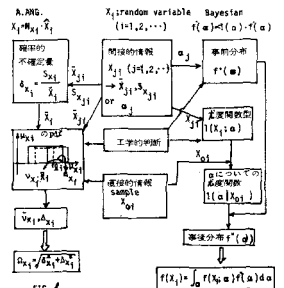
ここで } \begin{array}{l} k: \text{正規化係数} \\ L(x | \text{sample}): \text{尤度関数} \\ f'(x), f''(x): \text{事前および事後分布} \end{array}

のように定式化される。(1)式において、標本から得られる情報が尤度関数に反映される。一方過去の同様な試験などから得られる間接的情報や技術者の経験や直観に基づき工学的判断により、事前分布の型や尤度関数の型が決定される。これに対し、A. Ang の拡張信頼性理論では確率変数を次式のように表わし、種々の不確定性を補正係数や予測モデルに含めている。

$$X_i = N_{xi} \cdot \hat{X}_i \quad \text{--- (2)}$$

ここで } \begin{array}{l} X_i: \text{基本設計変数 (平均値 } \mu_{xi}, \text{ 全不確定量 } \sigma_{xi}) \\ N_{xi}: \text{補正係数 (平均値 } \bar{N}_{xi}, \text{ 変動係数 } \lambda_{xi}) \\ \hat{X}_i: \text{予測モデル (平均値 } \hat{x}_i, \text{ 標準偏差 } \sigma_{xi}, \text{ 変動係数 } \lambda_{xi} = \frac{\sigma_{xi}}{\hat{x}_i}) \end{array}

Bayesian との関連を模式的に Fig. 1 に示す。図より Ang. の方法で、最初から分布形を規定し、 X_i を母数とし、標本数を組み入れる尤度関数として補正係数を考えれば、Bayesian と同じ形をしていることがわかる。つぎに両者の関連をより明確にするためにモデル上の誤差について考える。Ang. は、performance function $Z = g(X_i)$ に対して (1) 式と同様に $Z = N_g \cdot \hat{Z}$ と表わしている。この点については形式的にうかがうことになる。



$$g(X_i) = \int_{N_g} N_g \cdot \hat{g}(X_i) f(N_g) dN_g \quad \text{--- (3)}$$

(3)式は、 N_g を母数を含んだ尤度関数と考えれば、Bayesian と同じ形をしている。

[3] 保証強度試験への Bayesian の適用 ここでは保証強度試験を行ない構造物を製作する場合、その試験から得られる情報の信頼性解析への影響を調べる。古典的信頼性理論を用いると、保証強度試験を行なった後の安全性は次式 (4) を求めることにより計算される。

$$P_f = \iint_{R \leq 0} f_R(r) f_a(a) dr da \quad \text{--- (4)}$$

ここで } \begin{array}{l} f_R(r) = \frac{H(r - \hat{r}_0)}{1 - Fr(\hat{r}_0)} f_R(r) \quad \text{--- (5)} \\ \left[\begin{array}{l} \hat{r}_0: \text{保証強度} \\ \sigma, \lambda < 0 \\ H(x) = \begin{cases} 1 & (x < 0) \\ 0 & (x \geq 0) \end{cases} \end{array} \right. \end{array}

つぎに Bayesian を用いた場合、試験方法あるいは情報、使いかたにより (3) (4) が考えられる。

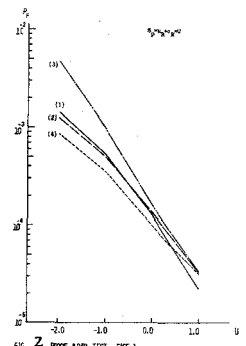
(2) 降伏試験のデータを尤度関数の標本として用いて、 Np は抵抗 R の分布型 $f_R(r)$ の修正(5式)のみを用いる方法。

(3) (2)の方法で、 Np を降伏値のみから尤度関数の標本に加える方法。

(4) 降伏試験のデータのみに尤度関数の標本とし、 Np は抵抗 R の分布型 $f_R(r)$ ばかりでなく、尤度関数型 $f(x)$ の関数型へ修正にも用いる方法。

以上4つの方法で、 Np を変化させ P_f を計算した結果をFig. 2に示す。図

から(3)の P_f の値が大きい。すなわち降伏値として Np という安全測のデータを用いたためである。しかしデータ数が増えたという点からデータの使い方が違いくということから、計算された P_f の値は違うと性格が異なる。また(4)が全体的に P_f が小さいのは修正した尤度関数のデータに対してノールターの交点を果しているためと考えられる。さらに Np が大きい場合は(3)の方法は(1)とほぼ同じと変わらなくなるが、これは Np 以上のデータの量が増えたと考えられる。



4) 標本数とコストとの関連

図3の結果を用いて、標本数 n に対するコストの変化と最適なコストについて調べる。ここでは、コスト C と n との関係を考える。

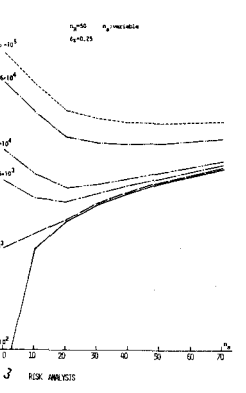
$$C_{total} = C' + c_1 P_f + c_2 n + c_3 n' \dots (10)$$

ただし、 C' :定数項(建設コストなど)、 C_1 :構造物が破壊した場合の損失
 C_2, C_3 :それぞれ降伏試験、保証試験における1標本当りのコスト
 n, n' :降伏試験標本数、保証試験標本数

ところが、 n' が一定の場合、 $C' + c_3 n'$ は定数となるから(10)式は

$$C = c_1 P_f + c_2 n = c_2 (x \times P_f(n) + n) = x P_f(n) + n \dots (11) \quad (x = \frac{c_1}{c_2})$$

となる。この(11)式について、 x をパラメータとして、 x と n の関係をFig. 3に示す。図より x が大きい(すなわち c_1 が大きい)場合は、 C を最小にする最適な標本数 n_{opt} は大きい。これは破壊による損失が大きい場合は、 P_f を小さく(精度良く)するよう、 n を増やした方がよいことを示している。逆に、 x が小さい場合は、 n_{opt} は小さく、 n_{opt} は0となる場合がある。これは破壊損失が小さい場合は、試験により P_f を小さくする以上に、試験のコストが大きくなることを示している。さらにこの考え方を図2で述べた保証強度試験を行なった場合に拡張して最適な試験方法、あるいは試験標本数 n について考察する。(数値計算結果がその詳細は、紙面の都合上、当日発表する。)



5) 結論 および今後の課題

心不全理論に注目し、拡張信頼性解析法(構造を明確にし、保証強度試験などを行なうこと)により得られる情報と信頼性との関連について考察を加えた。心不全の考え方を適用すると工学的判断と試験結果というものが自然に融合することが可能であり、その試験による $objectiveness$ を P_f で測ることにより、最適な試験方法あるいは標本数に対する1つの示唆が与えられると思われる。

参考文献 1) C. Allin Cornell: "Bayesian Statistical Decision Theory and Reliability-based Design" editor A. Brandenthal 32(1976)
 2) A. H. S. Ang: "Series of lectures on Structural Reliability and Probability-based Design", April, 1976, lecture note
 3) Masamoto Ishiyoshi: "Method of Safety and Reliability Analysis" editor Brandenthal, Pergamon Press, 1977